

# روش خودکار مرزبندی عروق و تشخیص دقیق پلاک سخت در تصاویر اولتراسوند داخل عروقی

بهشاد مهران، محمدرضا یزدچی و حسین پورقاسم

تصویربرداری برای تشخیص بیماری و انتخاب روش درمان بسیار مناسب است [۲] و [۳].

## ۱- نویز اسپیکل

نویز اسپیکل در تصاویر IVUS باعث اختشاش در این تصاویر می‌شود. وجود نویز اسپیکل در تصاویر اولتراسوند از سال ۱۹۷۰ و با بررسی خصوصیات آماری و ساختاری این نویز مطرح شده است [۴] و [۵]. این نویز یک عامل محدودکننده در تشخیص بیماری‌ها با کنتراست پایین است و بررسی و تفسیر تصاویر اولتراسوند را برای پزشک متخصص مشکل می‌سازد [۶]. وجود این نویز در تصاویر اولتراسوند باعث محدودیت‌هایی در پردازش تصویر و الگوریتم‌های تحلیلی مانند لبه‌یابی و بخش‌بندی می‌شود. بنابراین تلاش‌های زیادی جهت فیلتر کردن این نویز بدون از بین بردن ویژگی‌های تصویر شده است. استفاده از فیلترهای تطبیقی یکی از روش‌های کاهش نویز است. در این روش میزان هموارسازی هر ناحیه از تصویر برای کاهش نویز وابسته به مشخصات آن ناحیه در نظر گرفته شده است. میزان هموارسازی بر اساس مشخصات آماری هر ناحیه توسط پنجره مستطیلی  $m \times n$  تعیین شده است. در این روش تخمینی از واریانس نویز، واریانس و میانگین محلی تصویر در نظر گرفته شده است. پارامترهایی که در این روش‌ها در نظر گرفته شده است، تطابق خوبی با مدل‌های واقعی اسپیکل ندارند [۷]. از دیگر روش‌های کاهش نویز اسپیکل استفاده از فیلترهای همسایگی جایگزین شده و اندازه هر پیکسل با میانه شدت پیکسل‌های همسایگی جایگزین شده است. در این روش شدت همسایگی در نظر گرفته شده برای هر پیکسل با توجه به نسبت سیگنال به نویز ناحیه اطراف آن پیکسل مشخص شده است. در این روش جزئیات کوچک تصویر از بین می‌رود [۷]. از فیلترهای انتشار برای کاهش نویز تصاویر IVUS و استخراج مرز خارجی رگ استفاده شده است. در این روش علاوه بر کاهش نویز، لبه‌های موجود در تصویر نیز مشخص شده است. در این روش ابتدا تصویر از مختصات دکارتی به مختصات قطبی تبدیل شده و سپس با استفاده از مشتق اول ازتابع گوسین مرزها استخراج شده است. این مرزها که در نواحی ای از تصویر ناپیوسته هستند توسط اپراتورهای محدود انتشار درون‌یابی شده و به مرزهای پیوسته تبدیل شده است [۸].

## ۲- مرزهای رگ و پلاک‌های مسدودکننده رگ

میزان تجمع پلاک‌های کلسیم در مقایسه با پلاک‌های دیگر بیشتر است. همچنین تشکیل و تجمع پلاک‌های کلسیم در رگ برای بیمار بسیار پرخطر است زیرا پلاک‌های کلسیم سبب پاره‌شدن رگ می‌گردند. بنابراین تشخیص شکل و مکان پلاک‌های کلسیم به پزشک متخصص کمک می‌کند تا بهترین روش درمان جهت از بین بردن و کم کردن خطرهای جراحی را انتخاب نماید. فیلهو و همکاران توانستند با استفاده از روش آستانه‌گذاری و وجود سایه در پشت پلاک‌های کلسیم، این پلاک را

چکیده: بخش‌بندی تصویر به منظور تشخیص مرزهای رگ امری ضروری جهت تشخیص دقیق بیماری انسداد عروق قلب به وسیله تصویربرداری اولتراسوند درون‌رگی (IVUS) است. در این مقاله یک روش جدید جهت بخش‌بندی تصاویر IVUS پیشنهاد شده است. ابتدا پیش‌پردازش‌هایی به منظور تبدیل تصاویر از مختصات دکارتی به مختصات قطبی، حذف کاتتر موجود در تصاویر و از بین بردن نویز اسپیکل با فیلتر غیر خطی و غیر ایزوتروپیک انتشاری انجام شده است. سپس با استفاده از فیلتر گابور ویژگی‌های بافت تصاویر استخراج شده و با استفاده از مدل کانتور فعل برداری، به بخش‌بندی تصاویر تعیین مرز عروق پرداخته شده است. با روش خوش‌بندی فازی پلاک‌های کلسیم، مشخص و با استفاده از مدل کانتور فعل مرز دقیق پلاک‌های کلسیم استخراج شده است. این روش بر روی سی تصویر نمونه آزمایش شده و نتایج بخش‌بندی تصویر با نظر پزشک متخصص اعتبارسنجی شده است. اختلاف مساحت مرز داخلی رگ با نظر پزشک متخصص  $0.236 \pm 0.431$  و اختلاف مساحت مرز خارجی رگ با نظر پزشک متخصص  $0.653 \pm 0.723$  است. اختلاف مساحت پلاک‌های کلسیم استخراج شده با الگوریتم پیشنهادی در مقایسه با تصاویر بافت‌شناسی  $5/90$  درصد حاصل شده است.

**کلیدواژه:** تشخیص پلاک، تصویربرداری اولتراسوند داخل عروقی، کانتور فعل، مرزبندی عروق.

## ۱- مقدمه

انسداد شرایین قلب و تنگ شدن عروق کرونری از اصلی‌ترین عوامل مرگ و میر در دنیاست [۱]. روش‌های تصویربرداری مختلفی جهت تشخیص و درمان این بیماری به کار گرفته شده است. آنژیوگرافی یک روش مرسوم تصویربرداری است که مجرای داخلی رگ را نمایش می‌دهد اما قادر به نمایش شکل پلاک، اجزای پلاک و گنجایش پلاک نیست. روش اولتراسوند درون‌رگی (IVUS) روش دیگر تصویربرداری است. در این روش با ارسال امواج صوتی با فرکانس  $40-20$  MHz به لایه‌های داخلی رگ و برگشت امواج از همین لایه‌ها، تصویرهای پیوسته‌ای ایجاد می‌شود که نه تنها اطلاعات مفیدی راجع به دیواره‌های داخلی و خارجی رگ در اختیار قرار می‌دهد، بلکه اطلاعات راجع به شکل، سایز و نوع پلاک مسدودکننده رگ را نیز در اختیار قرار می‌دهد. این روش

این مقاله در تاریخ ۷ اردیبهشت ماه ۱۳۹۳ دریافت و در تاریخ ۱۶ تیر ماه ۱۳۹۴ بازنگری شد. این تحقیق توسط وزارت نیرو بر اساس قرارداد شماره ۱۳۵۷ پشتیبانی شده است.

بهشاد مهران، گروه مهندسی برق- مخابرات، دانشگاه آزاد اسلامی، واحد نجف‌آباد، (email: behshad.mehrhan@yahoo.com).  
محمدرضا یزدچی، گروه مهندسی پزشکی، دانشکده فنی و مهندسی، دانشگاه اصفهان، اصفهان، (email: yazdchi@eng.ui.ac.ir).  
حسین پورقاسم، گروه مهندسی پزشکی، دانشگاه آزاد اسلامی، واحد نجف‌آباد، (email: h\_pourghasem@iaun.ac.ir).

لومن از اطلاعات مقادیر روشنایی و قراردادن یک مقدار آستانه استفاده شده است. کانتور با استفاده از دوتابع انرژی درونی و یک تابع انرژی خارجی به سمت مرزاها رفته تا مرزاها مشخص گردند. مشکل روش نزدیکبودن مقادیر روشنایی تصویر به یکدیگر و حساسبودن روش آستانه‌گذاری به نویز است [۲۲].

مدل کانتور فعال پارامتریک با چالش‌های اساسی مواجه است مانند وابستگی شدید به محل قرارگیری کانتور اولیه، عدم توانایی در تقسیم یا ادغامشدن و واگرایی آنها در زمان تقاطع. جهت رفع این محدودیت‌ها مدل جریان گرادیان<sup>(GVF)</sup> و روش‌هایی مانند استفاده از اطلاعات محلی مقادیر روشنایی و لبه‌ها مطرح شده که در بخش‌بندی تصاویر IVUS مورد استفاده قرار گرفته است [۲۳]. یک روش خودکار دیگر بر اساس استخراج ویژگی‌های آماری نواحی نواحی جهت بخش‌بندی لومن پیشنهاد شده است [۲]. در این روش توزیع روشنایی در تصویر به وسیله تابع چگالی رایلی مدل شده و سپس با رشد کانتور، بافت خون و نواحی دیگر با توزیع رایلی متفاوت نشان داده شده است. اما فرضیه داشتن اطلاعات کامل در مورد اطلاعات آماری و الگوی نویز یا بافت تصاویر IVUS یک توزیع پارامتری مانند توزیع رایلی و یا گوسی در تمام تصاویر کاربردی نیست.

در مدل کانتور فعال هندسی، کانتور به صورت ضمنی توسط یک تابع لول است تعریف می‌شود و به همین دلیل به مدل هندسی، مدل لول است نیز گفته می‌شود. از ویژگی‌های این مدل این است که کانتور می‌تواند شکل خود را تغییر دهد و چند شیء مجزا در تصویر را پیدا کند [۲۴]. از مدل کانتور فعال هندسی نیز برای بخش‌بندی تصاویر IVUS استفاده شده است [۱۲] و [۲۵]. مدل‌های کانتور فعال بدون لبه چان-وس، یک مدل کانتور هندسی مبتنی بر ناحیه است و به نویز در تصویر حساس نیست [۲۶]. مدل کانتور فعال برداری، گسترش‌یافته مدل چان-وس است [۲۷]. این مدل برای تشخیص اشیا در تصاویر رنگی و یا تصاویر با طیف‌های مختلف مناسب است.

در این مقاله در بخش ۲ الگوریتم پیشنهادی به اختصار توضیح داده شده است. در بخش ۳ پیش‌پردازشی جهت حذف حلقه کاتتر انجام شده است. در بخش ۴ با استفاده از فیلتر غیر ایزوتروپیک غیر خطی انتشاری، حذف نویز اسپکل انجام شده است. در بخش ۵ ویژگی‌های بافت تصویر با استفاده از فیلتر گابور استخراج شده است. در بخش ۶ با استفاده از مدل کانتور فعال بدون لبه برداری مرزاها داخلی و خارجی رگ تشخیص داده شده است. در بخش ۷ مرز دقیق پلاک‌های کلسیم با مدل کانتور فعال مشخص گردیده است. در بخش ۸ نتایج به دست آمده با نظر پزشک متخصص و تصاویر بافت‌شناسی مجازی مقایسه شده است.

## ۲- الگوریتم پیشنهادی

مراحل الگوریتم پیشنهادی به صورت بلوك دیاگرام در شکل ۱ نشان داده شده است.

مرحله اول پیش‌پردازش‌هایی به منظور ساده‌سازی تصویر، حذف اطلاعات اضافی و حذف نویز صورت گرفته است.

مرحله دوم ویژگی‌های بافت تصویر با استفاده از فیلتر گابور استخراج شده است.

مرحله سوم از ویژگی‌های بافت استخراج شده به صورت برداری در مدل کانتور فعال استفاده شده است.

تشخیص دهنده [۹]. در الگوریتم پیشنهادی توسط بسیج از آستانه‌گذاری اتسو جهت شناسایی محل تشکیل سایه و از کانتورهای فعال جهت تشخیص مرزاها در این ناحیه استفاده شده است [۱]. مشکل روش آستانه‌گذاری این است که این روش به شدت به نویز حساس است. رودکی با استفاده از فیلترهای گابور ویژگی‌های بافت تصویر را استخراج نمود و سپس توسط ماشین بردار پشتیبان، پلاک‌ها را به سه دسته تقسیم نمود [۱۰]. از محدودیت‌های این روش این است که برای آموزش ماشین بردار پشتیبان به یک مجموعه داده نیاز است که تهیه آن مشکل و زمان بر است. تاکی با استفاده از RLM ویژگی‌های بافت تصویر را استخراج نمود و با استفاده از الگوهای بایزی محلی پلاک‌ها را به سه دسته تقسیم نمود [۱۱]. از محدودیت‌های روش RLM می‌توان به محاسبات زیاد آن اشاره نمود.

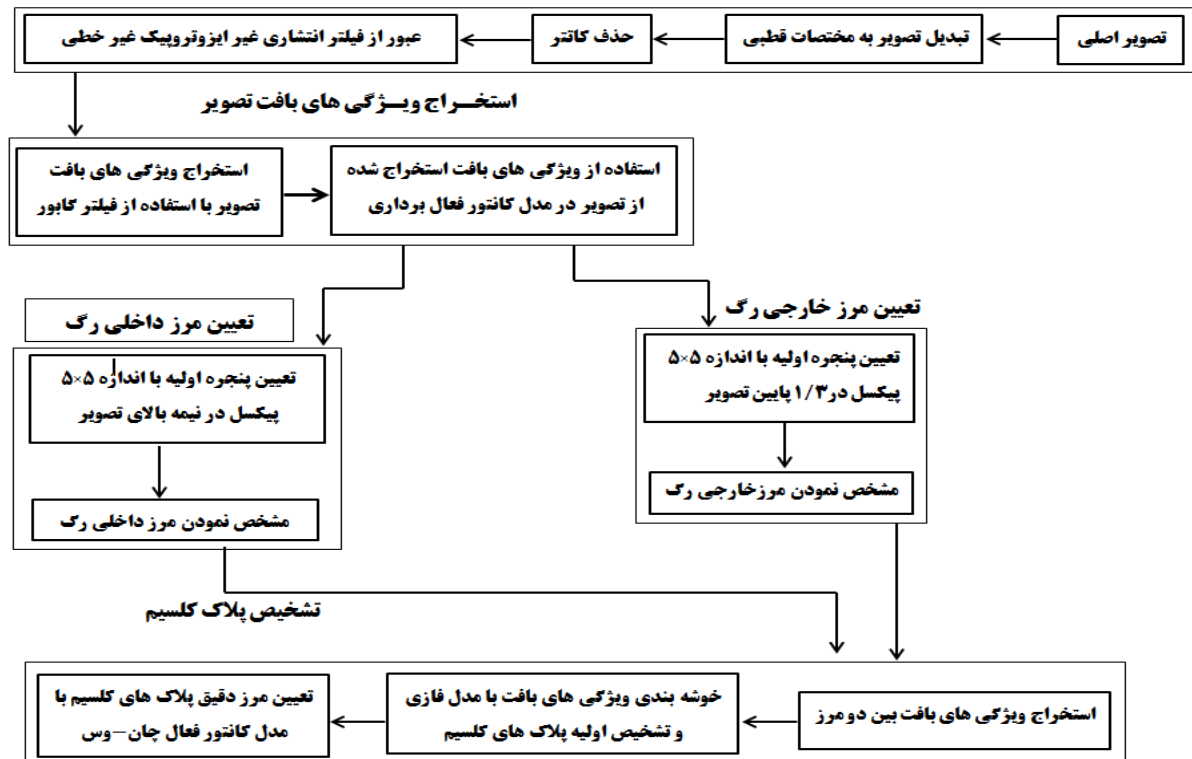
اولین قدم در تحلیل تصاویر IVUS بخش‌بندی تصاویر و استخراج مرز داخلی رگ و مرز خارجی رگ است. به دلیل دشواربودن و زمان‌بر بودن تشخیص مرزاها و بخش‌بندی تصویر به صورت دستی، استفاده از روش‌های نیمه‌خودکار و خودکار تحلیل تصاویر مورد توجه قرار گرفته است [۱۲]. یکی از روش‌های مشخص کردن مرزاها و ناحیه لومن، استفاده از الگوریتم خوش‌بندی  $k$  میانگین و الگوریتم خوش‌بندی فازی برای جدا کردن مرزاها است [۱۳] و [۱۴]. یکی از موانع روش‌های خوش‌بندی، آن است که تعداد خوش‌های بایز از قبل مشخص باشد و انتخاب نامناسب تعداد خوش‌های ممکن است به نتایج ضعیفی منجر شود. روش جستجوی گراف نیز برای تشخیص مرزاها استفاده شده است [۱۵].

بافت‌شناسی مجازی (VH) یک روش جدید است که با استفاده از سیگنال فرکانس رادیویی (RF) (بازگشته اولتراسوند، ویژگی‌های پلاک را به صورت رنگی نمایش می‌دهد [۱۶] و [۱۷]. بر اساس طیف سیگنال RF بازگشته، بافت‌شناسی مجازی قادر است مرز و نوع پلاک را با الگویی رنگی نمایش دهد. سیگنال رادیو فرکانسی در مقایسه با تصاویر IVUS سیاه و سفید اطلاعات بیشتری در اختیار قرار می‌دهد و در نتیجه اطلاعات دقیق‌تری از نوع پلاک را بیان می‌کند. از محدودیت‌های بافت‌شناسی مجازی استفاده از سیگنال ECG است که به فریم‌هایی که با موج R سیگنال ECG هم‌زمان هستند امکان پردازش و استفاده را می‌دهد. بنابراین تنها چند فریم از تصاویر IVUS قابل تشخیص هستند [۱۸]. بنابراین روش‌های تحلیل و تفسیر تصاویر IVUS مورد توجه قرار گرفت و از تصاویر بافت‌شناسی مجازی به عنوان سنجش اعتبار نتایج مورد استفاده قرار گرفت. لامبرس و همکاران با تعیین ناحیه تشکیل پلاک و استخراج ویژگی‌های پیکسل‌های این ناحیه و طبقه‌بندی این پیکسل‌ها پلاک‌ها را به چهار گروه طبقه‌بندی کردن و سپس نتیجه تحقیق خود را با تصاویر بافت‌شناسی مجازی اعتبارسنجی نمودند [۱۹].

مدل‌های کانتور فعال به دلیل انعطاف‌پذیر بودن و دقت بالا به طور گستره‌دار استفاده قرار گرفته‌اند. مدل‌های کانتور فعال به دو گروه پارامتریک و هندسی طبقه‌بندی می‌شوند.

مدل کانتور فعال پارامتریک در سال ۱۹۸۷ توسط کاس و همکاران معرفی شد [۲۰]. در این مدل، کانتور به صورت صریح توسط نقاط کنترلی تعريف شده و از این مدل برای بخش‌بندی تصاویر IVUS استفاده شده است. با تعریف تابع انرژی بر اساس خودهمبستگی، مرز درونی از خون جدا شده و سپس یک تابع انرژی بر اساس لبه، بافت و نیروی فشاری تعريف شده و به وسیله آن مرز خارجی رگ مشخص شده است [۲۱]. در روشی دیگر با استفاده از فیلتر پایین‌گذر، اطلاعات فرکانس بالای تصویر فیلتر شده و مرز خارجی مشخص شده است. برای مشخص کردن مرز

### پیش پردازش



شکل ۱: بلوک دیاگرام الگوریتم پیشنهادی.

مرحله پنجم با رشد کاتنور فعال مرز داخلی و خارجی رگ استخراج شده است.

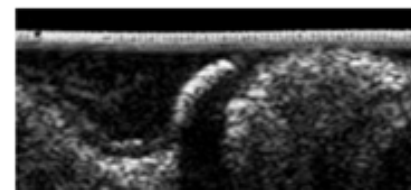
در مرحله ششم ویژگی های بافت تصویر بین دو مرز استخراج گردیده است و با روش خوشبندی فازی تشخیص اولیه پلاک های کلسیم انجام شده و سپس با مدل کاتنور فعال چان-وس مرز دقیق پلاک ها استخراج شده است.

### ۳- پیش پردازش جهت حذف حلقه کاتتر

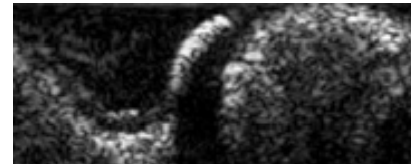
از آنجا که تصاویر IVUS از داخل رگ تهیه شده اند به صورت دوار ۳۶۰ درجه هستند. این عامل انجام محاسبات ریاضی بر روی این تصاویر را مشکل کرده است و از این رو ابتدا تصاویر از مختصات دکارتی به مختصات قطبی تبدیل شده است. این عمل به دلیل نحوه تصویربرداری اولتراسوند درون رگی انجام شده است. برای تصویربرداری اولتراسوند درون رگی موج اولتراسوند از کاتتر به صورت شعاعی به اطراف تابیده می شود و برای به دست آوردن تصویر، موج های برگشتی ابتدا در مختصات قطبی رسم می شوند و سپس تصویر نهایی در مختصات دکارتی ساخته می شود. لذا ماهیت تصویربرداری که به صورت شعاعی انجام می گردد باعث می شود تا پس از تبدیل تصاویر از مختصات دکارتی به قطبی نتایج پردازشی بهتری حاصل شود. در مرحله بعد ناحیه کاتتر که دارای اطلاعات مفید برای بخش بندی نیست حذف شده است. در واقع با مشخص بودن شعاع ناحیه کاتتر ( $D$ )، سطرهای فوقانی تصویر قطبی شده حذف شده است یعنی  $I(R, \theta) = 0$  for  $R \leq D$ . در شکل ۲ نمونه ای از تصویر IVUS تهیه شده از داخل رگ، تصویر مختصات قطبی و تصویر پرش داده نشان داده شده است.



(الف)



(ب)



(ج)

شکل ۲: (الف) نمونه ای از تصویر اولتراسوند درون رگی اولیه، (ب) تصویر الف بر مختصات قطبی و (ج) تصویر به دست آمده پس از حذف حلقه کاتتر.

مرحله چهارم برای مشخص کردن مرز داخلی رگ از پنجره اولیه ای با اندازه  $5 \times 5$  پیکسل در نیمه بالای تصویر استفاده شده و برای مشخص کردن مرز خارجی رگ از یک پنجره  $5 \times 5$  در یک سوم پایین تصویر استفاده شده است.

$$D = (\omega_1 \quad \omega_2) \begin{pmatrix} \lambda_1 & \cdot \\ \cdot & \lambda_2 \end{pmatrix} \begin{pmatrix} \omega_1^T \\ \omega_2^T \end{pmatrix}$$

$$\lambda_1 = \begin{cases} \alpha(1 - \frac{(\mu_1 - \mu_2)^2}{s^2}) & , \quad (\lambda_1 - \lambda_2)^2 \leq s^2 \\ \cdot & , \quad \text{else} \end{cases} \quad (3)$$

$$\lambda_2 = \alpha$$

که بردارهای  $\omega_1$  و  $\omega_2$  به ترتیب بردارهای ویژه در جهت بیشترین و کمترین تغییرات است. بیشترین تغییرات در امتداد گرادیان است و کمترین تغییرات در جهت عمود بر گرادیان و به اصطلاح در جهت کانتور است. مقادیر  $\lambda_1$  و  $\lambda_2$  به ترتیب نشان‌دهنده میزان تغییرات در جهات ذکر شده هستند. حرکت در هر نقطه با همبستگی محلی که به وسیله  $(\mu_1 - \mu_2)$  اندازه‌گیری می‌شود، تحت تأثیر قرار می‌گیرد. پارامترهای استفاده شده در این مقاله به قرار زیر است:  $s^2 = 2$ ،  $\alpha = 0.9$ ،  $\mu_1 = \mu_2 = \alpha = 0.9$  و  $m = 2$  که  $m = 2$  تعداد تکرارهای هر مرحله را تعیین می‌نماید. در شکل ۳ تصویر حاصل شده پس از حذف نویز نمایش داده شده است [۲۸].

## ۵- فیلتر گابور

تصاویر IVUS دارای پیچیدگی‌های زیادی هستند و از این رو ابتدا ویژگی‌های بافت به منظور کاهش پیچیدگی‌ها و بخش‌بندی استخراج شده است. فیلتر گابور توصیف کننده بافت تصویر است که توسط گابور در سال ۱۹۴۶ معرفی شد [۲۹]. فیلتر گابور یکتابع گوسی است که با یک سینوسی مختلط از فرکانس و جهت مدوله شده و می‌توان از این فیلتر در هر دو حوزه زمان و فرکانس استفاده نمود. ابتدا تبدیل فوریه تصویر به دست آمده از مرحله قبل محاسبه شده و سپس در یکتابع گوسی در فرکانس‌های مختلف ضرب شده و در نهایت عکس تبدیل فوریه محاسبه گردیده است. هدف استخراج ویژگی‌های تصویر با تحلیل حوزه فرکانس تصویر و استفاده از فرکانس‌ها و جهت‌های مختلف است. فیلتر گابور دو بعدی در فضای مکان به صورت (۴) تعریف می‌شود

$$G(x, y; S_d, f, \phi) = \exp\left(-\frac{x^2 + y^2}{2S_d^2}\right) \times \cos 2\pi f x$$

$$x' = x \cdot \cos \phi + y \cdot \sin \phi$$

$$y' = y \cdot \cos \phi - x \cdot \sin \phi \quad (4)$$

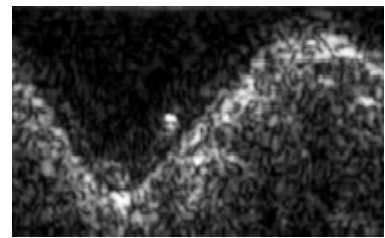
عملکرد فیلتر گابور به مقادیر پارامترهای ورودی وابسته است. در الگوریتم پیشنهادشده در این مقاله پارامترهای فیلتر گابور به این صورت تعریف شده است:  $[0^\circ, 90^\circ]$ ،  $f = [0.45, 0.95]$ ،  $S_d = [0.8, 1.5, 2]$  و  $\phi = [0^\circ, 45^\circ, 90^\circ, 135^\circ]$ . فرکانس فیلتر بر حسب هرتز،  $S_d$  مقیاس فیلتر و  $\phi$  جهت فیلتر بر حسب درجه را نشان می‌دهند.

## ۶- تشخیص مرز داخلی و خارجی رگ

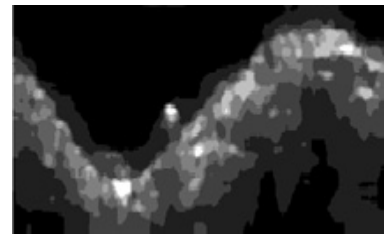
اگر کانتور به صورت یک منحنی پارامتریک  $v(s) = (x(s), y(s))$  باشد که  $s \in [0, l]$  یک منحنی و  $x$  و  $y$  موقعیت مختصاتی هستند، تابع انرژی به صورت (۵) تعریف می‌شود

$$E_{\text{snake}} = \int \left[ \frac{1}{2} (\alpha |v'(s)|^2 + \beta |v''(s)|^2) + E_{\text{ext}}(v(s)) \right] ds \quad (5)$$

جمله  $\int |v'(s)|^2 ds$  برای متعادل کردن فاصله نقاط کانتور و جمله  $\int |v''(s)|^2 ds$  جهت جلوگیری از نوسانی شدن نقاط کانتور مورد استفاده



(الف)



(ب)

شکل ۳: (الف) تصویر قطبی شده و (ب) تصویر الف پس از حذف نویز.

## ۴- فیلتر غیر ایزوتروپیک غیرخطی انتشاری جهت حذف نویز اسپلک

در این مقاله از فیلترهای انتشاری جهت حذف نویز استفاده شده که در ادامه شرح داده شده است. فیلترهای انتشاری با تعریف و حل یک معادله دیفرانسیل جزئی نویز تصویر را از بین می‌برند و با توجه به لبه‌های تصویر و جهت لبه‌ها، تصویر مقداری دچار محوشگی می‌شود. استفاده از فیلتر انتشاری غیر ایزوتروپیک غیرخطی یک روش کاربردی جهت افزایش کنترast و فیلترکردن نویز به طور همزمان است. این روش گرچه قسمت‌های متشابه را یکنواخت می‌کند اما لبه‌ها را بدون نیاز به اطلاعات طیف توان تصویر حفظ می‌کند [۲۸]. اگر فرض شود که معادله فیلتر انتشاری ایزوتروپیک استفاده شده به صورت (۱) باشد و  $I_{i,j,t} = 0$  باشد و  $t$  ثابت فیلتر انتشاری و  $\nabla I$  گرادیان تصویر است، اصلاح تصویر بر اساس این معادله خطی معادل فیلترکردن تصویر با یک فیلتر گوسی است

$$\frac{d_{i,j,t}}{dt} = \operatorname{div}[d_{i,j,t} \nabla I_{i,j,t}] = \frac{d}{di} d_{i,j,t} \frac{d}{di} I_{i,j,t} + \frac{d}{dj} d_{i,j,t} \frac{d}{dj} I_{i,j,t} \quad (1)$$

عملکرد فیلتر خطی انتشاری ایزوتروپیک به هموارسازی تصویر با ارتقای لبه محدود است. چنانچه  $d_{i,j,t}$  ثابت باشد، انتشار خطی و چنانچه متغیر باشد، انتشار غیرخطی است. انتشار به صورت (۱) انتشار ایزوتروپیک نام دارد که در آن انتشار در تمام جهات به طور یکنواخت صورت می‌گیرد. چنانچه  $d_{i,j,t}$  به صورت تنسور تعریف گردد به جز مسئله حفظ لبه‌ها به هم‌دوس‌بودن یا نبودن ساختارهای محلی نیز پرداخته شده است. در این صورت هم گرادیان و هم همدوسی در نظر گرفته شده و انتشار غیر ایزوتروپیک است که به صورت (۲) است

$$\frac{d_{i,j,t}}{dt} = \operatorname{div}[D \nabla I] \quad (2)$$

که  $D \in R^3$  یک تنسور متقارن مثبت است که فیلتر را در هر دو جهت گرادیان و کانتور نشان می‌دهد. مدل  $D$  به کار برده شده به صورت (۳) است

کانتور را تا منطبق شدن روی تصویر تنظیم می‌کند. مقادیر  $c_i^+$  و  $c_i^-$  مطابق (۱۱) محاسبه می‌شوند

$$c_i^+ = \frac{\int_{\Omega} I_i(x, y) H(\Phi(x, y)) dx dy}{\int_{\Omega} H(\Phi(x, y)) dx dy},$$

(average( $I_i$ ) on  $\Phi \geq .$ )

$$c_i^- = \frac{\int_{\Omega} I_i(x, y) (1 - H(\Phi(x, y))) dx dy}{\int_{\Omega} H(\Phi(x, y)) dx dy},$$

(average( $I_i$ ) on  $\Phi \leq .$ )

(۱۱)

با فرض ثابت بودن بردارهای  $\bar{c}^+$  و  $\bar{c}^-$ , مینیمم کردن تابع انرژی با توجه به توسط روش گرادیان کاهنده صورت می‌گیرد که معادله جریان گرادیان کاهنده آن به صورت (۱۲) تعریف می‌شود

$$\frac{\partial \Phi}{\partial t} = \delta_e [\mu \cdot \operatorname{div} \frac{\nabla \Phi}{|\nabla \Phi|} - \frac{1}{N} \sum_{i=1}^N \lambda_i^+ (I_i - c_i^+)^{\gamma} + \frac{1}{N} \sum_{i=1}^N \lambda_i^- (I_i - c_i^-)^{\gamma}]$$
(۱۲)

در این مقاله ابتدا ویژگی‌های بافت استخراج شده در مرحله قبل به صورت بردارهای مجزا به مدل چان-وس برداری وارد شده است. تابع انرژی با استفاده از این بردارها و محاسبه میانگین مقادیر داخلی و خارجی کانتور مینیمم می‌شود. این مدل مربزهای شکل را با توجه به ویژگی‌های بافتی به خوبی مشخص می‌نماید. در این مقاله  $\mu = 0.2$ ,  $\lambda_i = 1$  و تعداد تکرار ۳۲ در نظر گرفته شده و مکان پنجه اولیه در دو حالت در شکل ۴ برابر ۳۲ در نظر گرفته شده است. این مدل در دو حالت در شکل ۴ نشان داده شده است.

## ۷- تشخیص پلاک کلسیم

در قسمت ۵ مربزهای داخلی و خارجی رگ با استفاده از مدل کانتور فعال مشخص شدند. ناحیه تشخیص پلاک با استخراج ناحیه بین این دو مربز مشخص گردید. در واقع پلاک‌های کلسیم همواره بین دو مربز داخلی و خارجی رگ تشخیص می‌گردد. پلاک‌های کلسیم در تصاویر IVUS دارای مقادیر روشنایی بیشتری نسبت به بقیه پلاک‌ها هستند. با مشخص شدن مربز بین دو رگ سایر قسمت‌های تصویر حذف شدند. سپس با استفاده از فیلتر گابور به استخراج ویژگی‌های بافت ناحیه بین دو مربز پرداخته شد و ویژگی‌های استخراج شده از این ناحیه به صورت برداری تبدیل شده است. در مرحله بعد با استفاده از روش خوشبندی فازی و قراردادن کلاس یک برای پلاک کلسیم و قراردادن صفر برای سایر پلاک‌ها، این پلاک در تصویر مشخص گردید. تصویر استخراج شده به این روش به عنوان کانتور اولیه مدل چان-وس مورد استفاده قرار گرفت. در مرحله پایانی، کانتور به صورت خودکار به سمت مربزهای پلاک کلسیم حرکت کرده و مربز پلاک را مشخص می‌کند. تابع انرژی تعریف شده در (۱۰) با استفاده از این بردارها و محاسبه میانگین مقادیر داخلی و خارجی کانتور، مینیمم می‌شود. مقادیر  $\mu = 0.2$ ,  $\lambda_i = 1$  و تعداد تکرار برابر ۲۲ در نظر گرفته شده است.

## ۸- نتایج

در این مقاله به ابداع روشی جدید در بخش‌بندی تصاویر IVUS و تشخیص پلاک‌های کلسیم پرداخته شده است. این پژوهش بر روی ۳۰

قرار می‌گیرند. برای  $\alpha$  و  $\beta$  مقادیر ثابت و مثبت جهت کنترل این جملات استفاده می‌شود. با کمینه کردن تابع انرژی فوق، مربزها در تصویر تشخیص داده می‌شوند.

در مدل هندسی کانتور به صورت ضمنی توسط یک تابع لول است تعریف می‌شود که با استفاده از یک جمله سرعت نسبت به ویژگی‌های تصویر و خصوصیات کانتور شکل کانتور را تغییر می‌دهد. در مدل مبتنی بر ناحیه از یک جمله سازگار کننده به صورت (۶) جهت تنظیم شکل کانتور استفاده شده است

$$F_i(c) + F_r(c) = \int_{\operatorname{inside}(c)} |I(x, y) - c_i|^r dx dy + \int_{\operatorname{outside}(c)} |I(x, y) - c_r|^r dx dy, \quad x \in \Omega$$
(۶)

در (۶)  $\Omega \subset R^2$  دامنه تصویر،  $I : \Omega \rightarrow R$  تابع شدت روشنایی پیکسل‌ها در تصویر،  $c$  منحنی کانتور و  $c_i$  و  $c_r$  به ترتیب مقادیر میانگین تصویر در داخل و خارج از منحنی  $c$  هستند. در این حالت تابع انرژی به صورت زیر نوشته می‌شود

$$E(c_i, c_r, c) = \mu \cdot \operatorname{length}(c) + \lambda_i \int_{\operatorname{inside}(c)} |I(x, y) - c_i|^r dx dy + \lambda_r \int_{\operatorname{outside}(c)} |I(x, y) - c_r|^r dx dy$$
(۷)

که در (۷)  $\mu \geq 0$  و  $\lambda_i \geq 0$  و  $\lambda_r \geq 0$  است. اگر منحنی  $c$  با تابع لول است صفر  $\Phi : \Omega \rightarrow R$  جایگزین شود، آن گاه تابع انرژی به صورت (۸) تعریف می‌شود

$$E(c_i, c_r, \Phi) = \mu \int_{\Omega} |\delta(\Phi(x, y))| |\nabla \Phi(x, y)| + \lambda_i \int_{\Omega} |I(x, y) - c_i|^r H(\Phi(x, y)) dx dy + \lambda_r \int_{\Omega} |I(x, y) - c_r|^r (1 - H(\Phi(x, y))) dx dy$$
(۸)

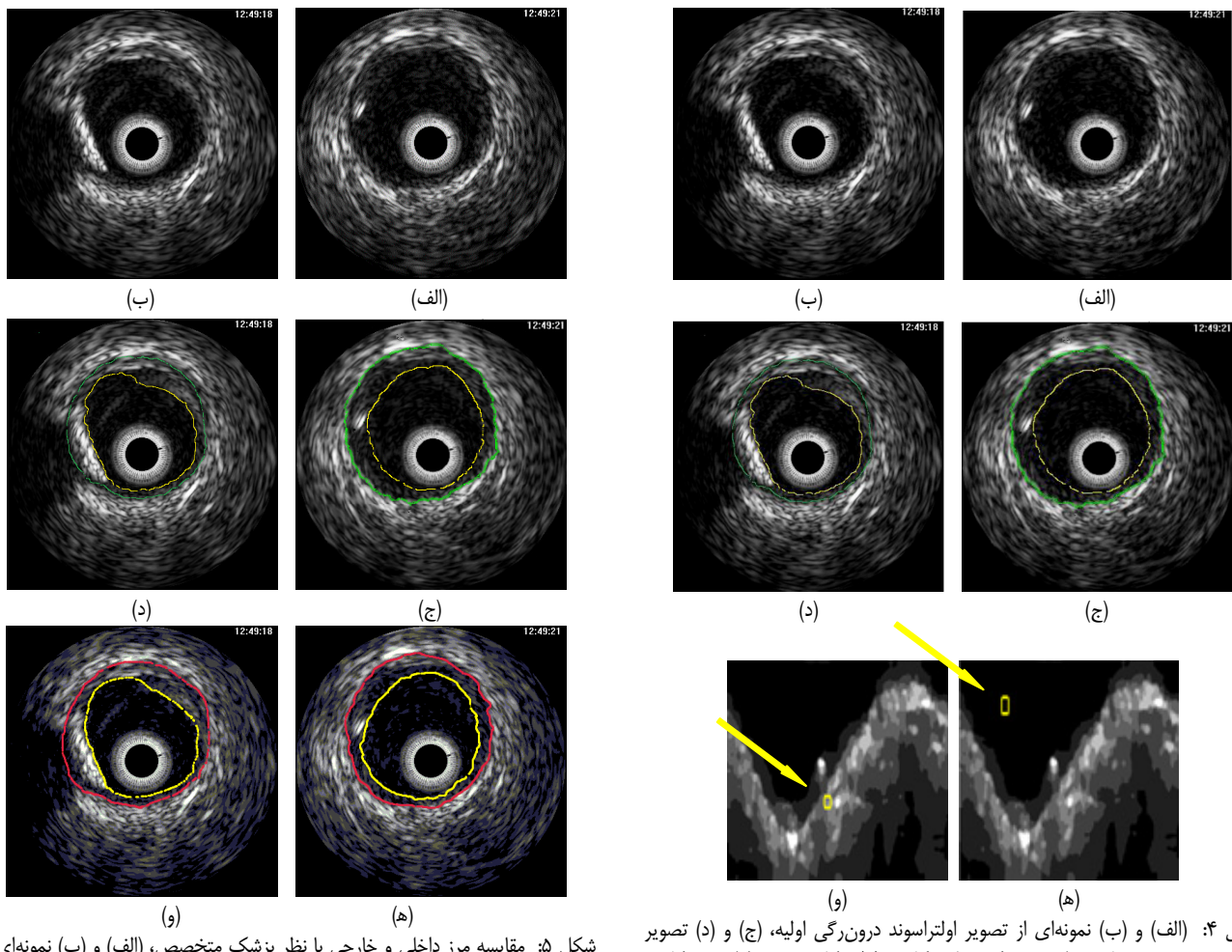
در (۸) توابع  $H$  و  $\delta$  به ترتیب توابع پله و ضربه هستند. کمینه کردن تابع انرژی توسط روش گرادیان کاهنده صورت می‌گیرد که معادله جریان گرادیان کاهنده آن به صورت (۹) تعریف می‌شود

$$\frac{\partial \Phi}{\partial t} = \delta_e (\Phi) [\mu \cdot \operatorname{div} \frac{\nabla \Phi}{|\nabla \Phi|} - \lambda_i (I - c_i)^{\gamma} + \lambda_r (I - c_r)^{\gamma}]$$
(۹)

در این مقاله از مدل چان-وس برداری استفاده شده است. این مدل گسترش‌یافته مدل چان-وس است و در تصاویر رنگی و بافتی مورد استفاده قرار می‌گیرد. تابع انرژی آن با توجه به مدل چان-وس طبق (۱۰) تعریف می‌شود

$$E(\bar{c}^+, \bar{c}^-, \Phi) = \mu \int_{\Omega} |\delta(\Phi(x, y))| |\nabla \Phi(x, y)| dx dy + \int_{\Omega} \frac{1}{N} \sum_{i=1}^N \lambda_i^+ |I_i(x, y) - c_i^+|^r H(\Phi(x, y)) dx dy + \int_{\Omega} \frac{1}{N} \sum_{i=1}^N \lambda_i^- |I_i(x, y) - c_i^-|^r (1 - H(\Phi(x, y))) dx dy$$
(۱۰)

که در آن  $\lambda_i \geq 0$  ضرایب وزن دار هستند که مقادیر بزرگ آن برای تشخیص اشیا با جزئیات ریز و مقادیر کوچک آن برای فیلتر کردن نویز فرکانس بالا مناسب است. با محاسبه میانگین مقادیر تصویر داخل کانتور  $c^+$  و خارج کانتور  $c^-$  و محاسبه مقادیر میانگین بین بردارها، تابع انرژی



شکل ۵: مقایسه مرز داخلی و خارجی با نظر پزشک متخصص، ((الف) و (ب)) نمونه‌ای از تصویر اولتراسوند درون رگی، ((ج) و (د)) نتیجه الگوریتم پیشنهادی (رنگ زرد نشان دهنده مرز داخلی رگ و رنگ سبز نشان دهنده مرز خارجی رگ) و ((ه) و (و)) نظر پزشک متخصص (رنگ زرد نشان دهنده مرز داخلی رگ و رنگ قرمز نشان دهنده مرز خارجی رگ).

شکل ۶: ((الف) و (ب)) نمونه‌ای از تصویر اولتراسوند درون رگی اولیه، ((ج) و (د)) تصویر اف و ب در مختصات قطبی و حذف حلقه کاتر، ((ه)) مکان پنجره اولیه در کاترور فعال برای مشخص کردن مرز لومن و ((و)) مکان پنجره اولیه در کاترور فعال برای مشخص کردن مرز خارجی رگ.

جدول ۱: ارزیابی مرز خارجی رگ و مرز داخلی رگ در مقایسه با مرز دستی پزشک متخصص.

روش پیشنهادی در [۲۱]	روش پیشنهادی در [۲۵]	الگوریتم پیشنهادی در [۲۵]	الگوریتم پیشنهادی در [۲۱]
$0,392 \pm 0,348$	$0,677 \pm 0,617$	$0,431 \pm 0,236$	$0,653 \pm 0,723$
$0,719 \pm 0,914$	$0,871 \pm 0,626$		

$r = 0,97$  و برای مرز خارجی معادله  $y = 0,911x + 1,35$  به دست آمده است. مقادیر شبیه‌های به دست آمده نزدیک به یک هستند و ضرایب همبستگی بیشتر از  $0,95$  هستند و عرض از مبدأ نمودارها فاصله کمی تا صفر دارند. نتایج نشان می‌دهند که تشخیص مرز با الگوریتم پیشنهادی در مقایسه با نظر پزشک متخصص نزدیک و مشابه هستند. پلاک‌های کلسیم استخراج شده توسط الگوریتم پیشنهادی با هستند. تصاویر بافت‌شناسی مجازی مقایسه شده و اختلاف مساحت بین نتیجه الگوریتم پیشنهادی و تصویر بافت‌شناسی معادل برابر با  $0,59$  درصد است.

## ۹- نتیجه‌گیری

یکی از چالش‌های اساسی در تحلیل تصاویر IVUS تشخیص مرزهای داخلی و خارجی رگ است. در این مقاله با استخراج ویژگی‌های بافت تصویر و استفاده از مدل کاترور فعال بدون لبه برای مقادیر برداری، بخش‌بندی و تشخیص مرزهای داخلی و خارجی رگ صورت گرفته است. پس از مشخص شدن مرزها از آنجایی که پلاک‌های کلسیم بین دو مرز

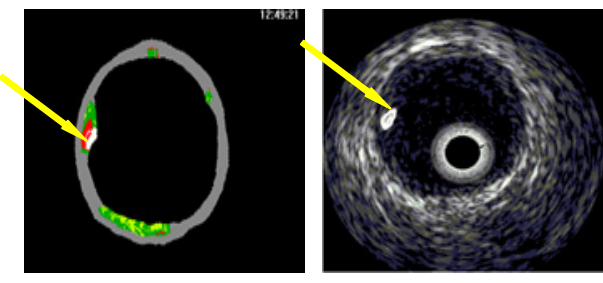
تصویر IVUS ( $400 \times 400$  pixels) تهیه شده از پنج بیمار مختلف با فرکانس  $20$  MHz و سرعت پول بک  $0,5$  mm/s VOLCANO به دست آمده است. جهت ارزیابی نتایج حاصل شده و بررسی میزان دقیق در مرزها از اختلاف سطح بین دو مرز استفاده شده است. در این رابطه  $S_M$  بیانگر مساحت کاترور رسم شده توسط پزشک و  $S_A$  بیانگر مساحت حاصل شده توسط الگوریتم پیشنهادی است. نتایج ارزیابی در جدول ۱ آورده شده است

$$\text{Area Difference}(S_A, S_M) = |S_A - S_M| \quad (12)$$

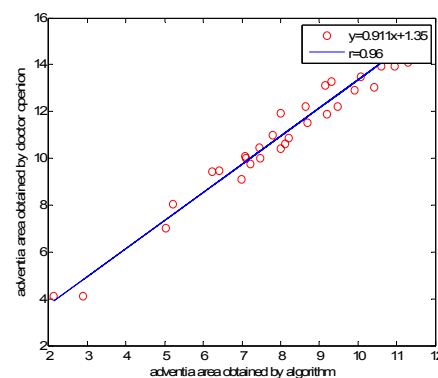
در شکل ۵ مقایسه مرز خارجی و داخلی حاصل شده با الگوریتم پیشنهادی و نظر پزشک متخصص نشان داده شده است. در شکل ۶ مرز دقیق پلاک‌های کلسیم استخراج شده با روش کاترور فعال نشان داده شده است. شکل‌های ۷ و ۸ نشان دهنده نتایج تحلیل رگرسیون خطی برای مرز داخلی و خارجی است. در این مقاله با محاسبه شبیه، عرض از مبدأ و ضریب همبستگی در مورد ناحیه لومن معادله  $y = 0,969x + 1,42$  و

## مراجع

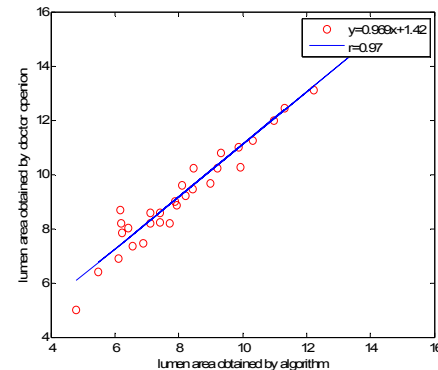
- [۱] م. بسیج، م. ر. یزدچی، پ. معلم و آ. تاکی، "مرزنگی نواحی ساییدار در تصاویر فرماصوت داخل عروقی به کمک کاتنورهای فعلی،" نشریه مهندسی برق و کامپیوتر ایران، دوره ۱۱، شماره ۲، صص. ۱۱۹-۱۲۵، زمستان ۱۳۹۲.
- [۲] E. Brusseau, C. L. de Korte, F. Mastik, J. A. Schaar, and A. F. W. van Steen, "Fully automatic luminal contour segmentation in intracoronary ultrasound imaging-a statistical approach," *IEEE Trans. on Med Imaging*, vol. 23, no. 5, pp. 554-566, May 2004.
- [۳] M. E. Plissiti, D. I. Fotiadis, L. K. Michalis, and G. E. Bozios, "An automated method for lumen and media-adventitia border detection in a sequence of IVUS frames," *IEEE Trans. on Information Technology in Biomedicine*, vol. 8, no. 2, pp. 131-141, Jun. 2004.
- [۴] C. B. Burckhardt, "Speckle in ultrasound B-mod scans," *IEEE Trans. on Sonics and Ultrasonics*, vol. 25, no. 1, pp. 1-6, Jan. 1978.
- [۵] R. F. Wagner, S. W. Smith, J. M. Sandrik, and H. Lopez, "Statistics of speckle in ultrasound B-scans," *IEEE Trans. on Sonics and Ultrasonics*, vol. 30, no. 3, pp. 156-163, May 1983.
- [۶] Y. Yongjian and S. T. Acton, "Speckle reducing anisotropic diffusion," *IEEE Trans. on Image Processing*, vol. 11, no. 11, pp. 1260-1270, Nov. 2002.
- [۷] T. Loupas, W. N. McDidew, and P. L. Allan, "An adaptive weighted median filter for speckle suppression in medical ultrasonic images," *IEEE Trans. on Circuits Systems*, vol. 36, no. 1, pp. 129-135, Jan. 1989.
- [۸] A. H. Hernandez, D. G. Gill, P. R. Radeve, and E. N. Nofrarias, "Anisotropic processing of image structures for adventitia detection in intravascular ultrasound images," in *Proc. Computers in Cardiology*, pp. 229-232, 19-22 Sep. 2004.
- [۹] E. D. S. Filho, Y. Sijo, T. Yambe, A. Tanaka, and M. Yoshizawa, "Segmentation of calcification regions in intravascular ultrasound images by adaptive thresholding," in *Proc. 19th IEEE Int. Symp. on Computer-Based Medical Systems, CBMS'06*, pp. 446-454, Salt Lake City, UT, USA, Jul. 2006.
- [۱۰] A. Roodaki, A. Taki, S. K. Setarehdan, and N. Navab, "Modified wavelet transform features for characterizing different plaque types in IVUS images; a feasibility study," in *Proc. 9th Inter Conf. on Signal Processing*, pp. 789-792, Beijing, China, 26-29 Oct. 2008.
- [۱۱] A. Taki, et al., "A new approach for improving coronary plaque component analysis based on intravascular ultrasound images," *Ultrasound Med. Biol.*, vol. 36, no. 8, pp. 1245-1258, Aug. 2010.
- [۱۲] A. Taki, et al., "Automatic segmentation of calcified plaques and vessel borders in IVUS images," *International Journal of Computer Assisted Radiology and Surgery*, vol. 3, no. 3, pp. 347-354, Sep. 2008.
- [۱۳] A. Katouzian, B. Baseri, E. E. Konofagou, and A. F. Laine, "Automatic detection (IVUS) images using wavelet packet signatures," in *Proc. SPIE Medical Imaging: Ultrasonics Imaging and Signal Processing*, S. A. McAleavy and J. D'hooge, Ed., vol. 6920, 8 pp., 2008.
- [۱۴] E. D. S. Filho, M. Yoshizawa, A. Tanaka, Y. Saijo, and T. Iwamoto, "Moment-based texture segmentation of luminal contour in intravascular ultrasound images," *Journal of Medical Ultrasonics*, vol. 32, no. 3, pp. 91-99, Sep. 2005.
- [۱۵] X. Zhang, C. R. McKay, and M. Sonka, "Tissue characterization in intravascular ultrasound images," *IEEE Trans. on Med. Imaging*, vol. 17, no. 6, pp. 889-899, Dec. 1998.
- [۱۶] A. Konig, M. P. Margolis, R. Virmani, D. Holmes, and V. Klauss, "Technology insight: in vivo coronary plaque classification by intravascular ultrasonography radiofrequency analysis," *Nature Clinical Practice Cardiovascular Medicine*, vol. 5, no. 4, pp. 219-229, Apr. 2008.
- [۱۷] A. Nair, B. D. Kuban, E. M. Tuzcu, P. Schoenhagen, S. E. Nissen, and D. G. Vince, "Coronary plaque classification with intravascular ultrasound radiofrequency data analysis," in *Proc. IEEE Ultrasonics Symposium*, vol. 106, pp. 2200-2206, 18-21 Sep. 2002.
- [۱۸] S. M. O. Malley, J. F. Granada, S. Carlier, M. Naghavi, and I. A. Kakadiaris, "Image-based gating of intravascular ultrasound pullback sequences," *IEEE Trans. on Information Technology in Biomedicine*, vol. 12, no. 3, pp. 299-306, May 2008.
- [۱۹] L. S. Athanasiou, et al., "A novel semiautomated atherosclerotic plaque characterization method using grayscale intravascular ultrasound images: comparison with virtual histology," *IEEE Trans. on Information Technology in Biomedicine*, vol. 16, no. 3, pp. 391-400, May 2012.
- [۲۰] M. Kass, A. Witkin, and D. Terzopoulos, "Snakes: active contour models," *International J. of Computer Vision*, vol. 1, no. 4, pp. 321-331, Jan. 1988.



شکل ۶: (الف) مرز دقیق پلاک‌های کلسیم با الگوریتم پیشنهادی و (ب) تصویر بافت‌شناسی مجازی. رنگ سفید: پلاک کلسیم، رنگ سیاه: پلاک فیبروز، رنگ زرد: پلاک فیبروز-چربی و رنگ قرمز: پلاک نکروتیک.



شکل ۷: مقایسه مساحت مرز خارجی در الگوریتم پیشنهادی با نظر پزشک متخصص.



شکل ۸: مقایسه مساحت مرز داخلی در الگوریتم پیشنهادی با نظر پزشک متخصص.

داخلی و خارجی رگ تشکیل می‌شوند، به تشخیص مرز پلاک‌های کلسیم در تصاویر پرداخته شده است. نتایج تشخیص مرز با نظر پزشک متخصص اعتبارسنجی شده و نتایج تشخیص پلاک کلسیم با تصاویر بافت‌شناسی معادل آنها اعتبارسنجی شده است. همان طور که در جدول ۱ مشاهده می‌شود الگوریتم پیشنهادی در مقایسه با الگوریتم پیشنهادشده در [۲۵] که مبنی بر مدل کاتنور فعال هندسی است دارای عملکرد مناسبی است. روش پیشنهادشده در [۲۵] در تصاویری که دارای پلاک کلسیم بزرگ هستند دارای عملکرد دقیقی نیست. همچنین روش پیشنهادی در این مقاله با روش پیشنهادشده در [۲۱] مقایسه شده است. روش [۲۱] بر اساس مدل کاتنور فعل پارامتری است و به محل قرارگیری کاتنور اولیه وابسته است.

## ۱۰- سپاس‌گزاری

از جناب آقای دکتر تاکی که مجموعه تصاویر استفاده شده در این مقاله را در اختیار اینجانب قرار دادند، کمال تشکر را دارم و از راهنمایی‌های جناب آقای دکتر ورد و سرکار خانم بسیج سپاس‌گرام.

بهشاد مهران دانش آموخته کارشناسی و کارشناسی ارشد مهندسی برق- مخابرات از دانشگاه آزاد اسلامی واحد نجف آباد به ترتیب در سال های ۱۳۸۹ و ۱۳۹۳ می باشد. از زمینه های مورد علاقه نامبرده می توان پردازش تصویر، سیگنال، گفتار را نام برد.

محمد رضا بیزدچی در آبان ماه ۱۳۵۴ در شهر اصفهان در کشور ایران متولد شد. او مدرک کارشناسی خود را در سال ۱۳۷۶ در رشته مهندسی برق گرایش الکترونیک از دانشگاه صنعتی اصفهان دریافت نمود. وی موفق به اخذ مدارک کارشناسی ارشد و دکترای تخصصی در رشته مهندسی پزشکی- بیوالکتریک در سال های ۱۳۷۸ و ۱۳۸۵ و از دانشگاه صنعتی امیرکبیر تهران گردید. پس از اتمام تحصیلات، از سال ۱۳۸۵ به صورت رسمی به سمت عضو هیأت علمی گروه مهندسی پزشکی دانشکده فنی مهندسی دانشگاه اصفهان درآمد. زمینه های مورد علاقه وی پردازش سیگنال های حیاتی، گفتار، تصویر و سیستم های الهام گرفته زیستی می باشد.

حسین پورقاسم در سال ۱۳۸۱ مدرک کارشناسی مهندسی برق- بیوالکتریک خود را از دانشگاه شاهد و در سال ۱۳۸۳ مدرک کارشناسی ارشد مهندسی برق- بیوالکتریک خود را از دانشگاه تربیت مدرس دریافت نمود. در سال ۱۳۸۳ موفق به اخذ مدرک دکتری در مهندسی برق- بیوالکتریک از دانشگاه تربیت مدرس گردید. دکتر پورقاسم از سال ۱۳۸۸ تا ۱۳۹۰ با سمت مدیر پژوهشی دانشکده برق دانشگاه آزاد اسلامی واحد نجف آباد مشغول به فعالیت شد. از سال ۱۳۹۰ تا ۱۳۹۵ با سمت مدیر گروه آموزشی بیوالکتریک در دانشگاه آزاد اسلامی واحد نجف آباد مشغول به فعالیت می باشد. زمینه های مورد علاقه وی پردازش تصویر، پردازش سیگنال های حیاتی و شناسایی الگو می باشد.

- [21] A. Vard, K. Jamshidi, and N. Movahhedinia, "An automated approach for segmentation of intravascular ultrasound images based on parametric active contour models," *Australasian College of Physical Scientists and Engineers in Medicine*, vol. 35, no. 2, pp. 135-150, Mar. 2012.
- [22] G. D. Giannoglou, *et al.*, "A novel active contour model for fully automated segmentation of intravascular ultrasound images: in vivo validation in human coronary arteries," *Computers in Biology and Medicine*, vol. 37, no. 9, pp. 1292-1302, Sep. 2007.
- [23] H. Zhu, Y. Liang, and M. H. Friedman, "IVUS image segmentation based on contrast," in *Proc. SPIE Medical Imaging: Image Processing*, vol. 4684, pp. 1727-1733, May 2002.
- [24] S. Osher and J. A. Sethian, "Fronts propagating with curvature dependent speed: algorithms based on Hamilton-Jacobi formulations," *J. of Computational Physics*, vol. 79, no. 1, pp. 12-49, Nov. 1998.
- [25] G. Unal, S. Bucher, G. Slabaugh, T. Fang, and K. Tanaka, "Shape-driven segmentation of the arterial wall in intravascular ultrasound images," *IEEE Trans. on Information Technology in Biomedicine*, vol. 12, no. 3, pp. 335-347, May 2008.
- [26] T. F. Chan and L. A. Vese, "Active contours without edges," *IEEE Trans. on Image Processing*, vol. 10, no. 2, pp. 266-277, Feb. 2001.
- [27] T. F. Chan, B. Y. Sandberg, and L. A. Vese, "Active contours without edges for vector-valued images," *Visual Communication and Image Representation*, vol. 11, no. 2, pp. 130-141, Jun. 2000.
- [28] C. P. Loizou, *et al.*, "Comparative evaluation of despeckle filtering in ultrasound imaging of the carotid artery," *IEEE Trans. on Ultrasonics, Ferroelectrics, and Frequency Control*, vol. 52, no. 10, pp. 1653-1669, Nov. 2005.
- [29] D. Gabor, "Theory of communication, part 1: the analysis of information," *Journal of the Institution of Radio and Communication Engineering*, vol. 93, no. 26, pp. 429-441, Nov. 1946.